

ИССЛЕДОВАНИЕ СВОБОДНЫХ ПРОДОЛЬНЫХ КОЛЕБАНИЙ НАНОРАЗМЕРНОЙ БАЛКИ С ПОЗИЦИЙ ДВУХФАЗНОЙ НЕЛОКАЛЬНОЙ ТЕОРИИ УПРУГОСТИ ЭРИНГЕНА

¹Михасев Г.И., ¹Авдейчик Е.В., ²Каплунов Ю.Д., ²Приказчиков Д.А.

¹Белорусский государственный университет, Минск
²Университет Кишле, Кишле, Великобритания

Введение. Первые идеи нелокальной теории упругости были предложены в работах Крёнера [1], Кунина [2], Крумханселя [3], Эделена и Лоуса [4, 5]. Впоследствии окончательная формулировка теории были сделана Эрингеном [6-8]. Именно после выхода упомянутых статей Эрингена, а также его монографии [9] появились многочисленные исследования в области деформирования наноразмерных балок, пластин и оболочек, а также дискретных наноструктур (нанотрубок, графена) с позиций континуальной механики.

В соответствии с нелокальной теорией упругости, напряжения σ_{ij} в точке континуума $\mathbf{x}=(x_1, x_2, x_3)$ зависят не только от деформаций e_{ij} в данной точке, но и от деформаций во всех точках среды, а в случае рассмотрения тела, - от его формы и объема V :

$$\sigma_{ij}(\mathbf{x}) = \int_V K(|\mathbf{x} - \mathbf{x}'|, \varepsilon) \sigma_{ij}^{(c)}(\mathbf{x}') dV(\mathbf{x}') \quad (1)$$

где $\sigma_{ij}^{(c)}$ - компоненты макроскопического (классического) тензора напряжений, $K(|\mathbf{x} - \mathbf{x}'|, \varepsilon)$ - ядро или функция влияния, которая положительна и быстро убывает при $|\mathbf{x} - \mathbf{x}'| \rightarrow \infty$, а ε - безразмерный нелокальный параметр, учитывающий размерный эффект и определяемый по формуле $\varepsilon = e_0 a / l_c$. Здесь, e_0 - материальная константа, которая находится экспериментально для каждого материала (например, для углеродных нанотрубок обычно $e_0 = 0.39$ [6]), a - внутренний характерный размер (размер гранул, расстояние между атомами дискретной структуры), а l_c - внешний характерный размер. В пределе, когда $\varepsilon \rightarrow 0$, ядро $K(|\mathbf{x} - \mathbf{x}'|, \varepsilon)$ обращается в дельта-функцию Дирака.

Модель упругой среды, в основу которой положен закон (1), будем называть нелокальной однофазной интегральной (НОФИ) моделью континуума. Очевидно, что ее принятие приводит к сложным интегро-дифференциальным уравнениям, попытка решения которых, даже при рассмотрении одномерной задачи, наталкивается на значительные и чаще непреодолимые математические трудности. В работе [6] Эрингеном была получена дифференциальная форма уравнений физического состояния

$$(1 - \varepsilon^2 l_c^2 \nabla^2) \sigma_{ij}(\mathbf{x}) = \sigma_{ij}^{(c)}(\mathbf{x}) \quad (2)$$

которая для некоторых задач (например, в задаче о распространении плоских волн в неограниченной среде) может рассматриваться как модель эквивалентная интегральной форме (1). В дальнейшем, модель упругой среды, определяемую соотношениями (2), будем называть нелокальной «эквивалентной» дифференциальной (НЭД) моделью. Начиная с 2003г [10] и до сих пор данная модель широко применяется многими авторами при исследовании деформирования, устойчивости и колебаний наноразмерных балок, пластин и оболочек, а также углеродных нанотрубок (среди многих других работ см., например, статьи [12-17]). Ее принятие позволило получить ряд новых механических эффектов: учет параметра нелокальности ε в большинстве случаев приводит к увеличению прогибов и к снижению собственных частот и критических нагрузок. Исключением является случай консольной наноразмерной балки, поведение которой при

действию сосредоточенной нагрузки указывает на отсутствие нелокального эффекта. Данный парадокс для консольной балки, отмеченный в статьях [10, 18, 19], привлек к себе внимание и привел к выводу о несостоятельности дифференциальной формы закона Эрингена при решении других задач. Так Бенвенути и Симон [20], исследуя наноразмерную балку на растяжение, обнаружили, что решения, полученные на основе НЭД-модели, противоречат уравнениям физического состояния (1) в интегральной форме. Причина данного несоответствия моделей состоит в том, что некоторые граничные условия (например, условия свободного края) в рамках НЭД-модели записываются в терминах макроскопических напряжений $\sigma_{ij}^{(c)}$ (см., например, в [12, 13]), что, очевидно, противоречит изначально принятому закону физического состояния (1). Ниже нами будет показано, что и в случае рассмотрения кинематических граничных условий (жесткого защемления краев), закон (2) не позволяет учесть наличие краевых эффектов, порождаемых нелокальным деформированием у границ нанообъекта. Таким образом, НЭД модель является некорректной, ибо не позволяет удовлетворить граничным условиям в терминах напряжений и не отражает реальной картины деформирования наноразмерного объекта у его границ. Интересный вывод был также сделан авторами статьи [21], в которой рассмотрен статический изгиб балки под действием произвольной распределенной поперечной нагрузки. Оказалось, что решения одной и той же задачи, рассмотренной в рамках НЭД и НОФИ моделей, совпадают лишь в случае, когда функция распределения нагрузки удовлетворяет специальным условиям, сформулированным Поляниным и Манжировым в [22]. Другим случаем, когда использование НЭД-модели оправдано, является случай сильной локализации деформаций вдали от границ наноразмерного тела. Так в работах [23, 24] были исследованы локализованные формы собственных колебаний углеродных нанотрубок (УНТ), внедренных в неоднородную упругую матрицу: с использованием НЭД-модели для длинных тонких наноразмерных оболочек, решения уравнений движения были построены в виде функций, быстро убывающих при удалении от некоторых «слабых» линий, расположенных вдали от краев длинной одностенной [23] и двухстенной УНТ [24].

Что касается НОФИ-модели, то ее принятие в задаче о статическом изгибе балки [21] приводит к двум каноническим интегральным уравнениям Фредгольма первого рода, которые в общем случае (при произвольном распределении нагрузки) являются некорректно поставленными задачами [25]. Строгое доказательство некорректности многих задач об изгибе балки в рамках НОФИ-модели было дано в недавно опубликованной работе Романо и др. [26]. Чтобы устранить данный парадокс, сначала Чалламел и Вонг [19], а затем и другие авторы [29, 30] обратились к смешанной модели (ранее предложенной Эрингеном [27, 28]), которая учитывает как локальную, так и нелокальную составляющие в законе физического состояния:

$$\sigma_{ij}(x) = \xi_1 \sigma_{ij}^{(c)}(x) + \xi_2 \int_V K(|x-x'|, \tau) \sigma_{ij}^{(c)}(x') dV(x') \quad (3)$$

Здесь ξ_1 и ξ_2 - коэффициенты, определяющие объемные доли локальной и нелокальной фаз, соответственно, и удовлетворяющие условиям: $0 < \xi_1, \xi_2 < 1$, $\xi_1 + \xi_2 = 1$. Модель, определяемую соотношением (3) обычно называют смешанной или нелокальной двухфазной интегральной (НДФИ) моделью. Очевидно, что при $\xi_1 \rightarrow 0$ модель вырождается в НОФИ-модель, а при $\xi_1 = 1$ получаем уравнения физического состояния классической локальной теории упругости. В работе [26] было доказано, что задача о статическом изгибе балки в рамках НДФИ-модели корректна и имеет единственное решение лишь при $\xi_1 > 0$.

Следует отметить, что НДФИ-модель применялась и для решения других задач. Так в работах [20, 31] были рассмотрены задачи о растяжении наноразмерной балки, а в статье [32] с использованием метода дискретизации уравнений (3) впервые численно

исследованы изгибные формы колебаний балки Эйлера-Бернулли. Вместе с тем отсутствуют исследования, в которых бы были предложены аналитические методы решения динамических задач для наноразмерных балок, пластин и оболочек с использованием НДФИ-модели. Заметим, что в рамках данной модели задачи о колебаниях нанообъектов сводятся к нестационарным интегро-дифференциальным уравнениям в частных производных. Очевидно, что подобные задачи существенно отличаются от ранее выполненных исследований о статическом деформировании нанобалок и требуют дополнительного изучения и анализа.

Целью данной работы является рассмотреть задачу о свободных продольных колебаниях наноразмерной балки с использованием НДФИ-модели. Поскольку данная модель позволяет в предельных случаях перейти к НОФИ-модели, а также к классической модели локальной теории упругости, будет выполнен сравнительный анализ собственных частот, найденных в рамках различных подходов, включая НЭД-модель.

Разрешающие уравнения. Рассмотрим наноразмерную балку длиной L , с модулем Юнга E и плотностью материала ρ . Пусть x_1 - координата, отсчитываемая в осевом направлении балки, а $\sigma = \sigma_{11}$ - напряжение на площадке, ортогональной направлению оси. Тогда дифференциальное уравнение, описывающее малые продольные колебания балки может быть записано в виде:

$$S \frac{\partial \sigma}{\partial x_1} - \rho S \frac{\partial^2 u}{\partial t^2} = f(x_1, t) \quad (4)$$

где S - площадь поперечного сечения, t - время, а $f(x_1, t)$ - интенсивность продольной массовой силы. Для исследования свободных колебаний принимаем $f = 0$.

Введем безразмерные величины $x = x_1/l_c$, $\tau = \sqrt{E/(\rho l_c^2)} t$. Для свободных колебаний перемещение сечения ищем в виде $u = l_c y(x) e^{i\omega\tau}$, где i - мнимая единица, а ω - искомая безразмерная собственная частота колебаний. Подставляя последнее соотношение в (4) и принимая (3) в качестве закона физического одномерного напряженного состояния, приходим к интегро-дифференциальному уравнению

$$\xi_1 \frac{d^2 y}{dx^2} + \frac{\xi_2}{2\varepsilon} \frac{d}{dx} \int_0^1 R(|x-s|, \varepsilon) y'(s) ds + \omega^2 y = 0 \quad (5)$$

где $R(|x-s|, \varepsilon) = K(l_c |x-s|, \varepsilon)$, а штрих означает дифференцирование по безразмерной координате.

Рассмотрим три возможных варианта граничных условий:

$$y(0) = y(1) = 0 \quad (6)$$

$$y(0) = \sigma(1) = 0 \quad (7)$$

$$\sigma(0) = \sigma(1) = 0 \quad (8)$$

где условие (6) соответствует жесткому защемлению обоих краев, условие (8) – свободным краям, а условие (7) означает, что левый край жестко защемлен, а правый свободен. Заметим, что в рамках НДФИ-модели условие свободного края принимает вид

$$\xi_1 \frac{dy}{dx} + \frac{\xi_2}{2\varepsilon} \int_0^1 R(|x-s|, \varepsilon) y'(s) ds = 0 \quad (9)$$

Рассмотрим здесь би-экспоненциальное ядро

$$R(|x-s|, \varepsilon) = \frac{1}{2\varepsilon} e^{-\frac{|x-s|}{\varepsilon}} \quad (10)$$

которое наиболее часто используется для исследования деформирования наноразмерных балок [19, 20, 30-32]. Заметим, что для данного ядра

$$\frac{d}{dx} \int_0^1 e^{-\frac{|x-s|}{\varepsilon}} z(s) ds = \frac{1}{\varepsilon} \left[e^{-\frac{x}{\varepsilon}} \int_0^1 e^{-\frac{s}{\varepsilon}} z(s) ds - e^{-\frac{x}{\varepsilon}} \int_0^1 e^{-\frac{s}{\varepsilon}} z(s) ds \right] \quad (11)$$

$$\frac{d^2}{dx^2} \int_0^1 e^{-\frac{|x-s|}{\varepsilon}} z(s) ds = \frac{1}{\varepsilon^2} \int_0^1 e^{-\frac{|x-s|}{\varepsilon}} z(s) ds - \frac{2}{\varepsilon} z(x) \quad (12)$$

Будем искать неизвестную функцию $y(x)$ на множестве $C^4[0, 1]$. Продифференцируем уравнение (5) дважды по x и примем во внимание соотношения (11), (12). В результате получим следующее уравнение

$$\varepsilon^2 \xi_1 \frac{d^4 y}{dx^4} + \frac{\xi_2}{2\varepsilon} \frac{d}{dx} \int_0^1 e^{-\frac{|x-s|}{\varepsilon}} y'(s) ds - \xi_2 \frac{d^2 y}{dx^2} + \varepsilon^2 \omega^2 \frac{d^2 y}{dx^2} = 0 \quad (13)$$

Исключая в (5) и (13) второе слагаемое, содержащее интегрирование, приходим к дифференциальному уравнению четвертого порядка:

$$\varepsilon^2 \xi_1 \frac{d^4 y}{dx^4} - (1 - \varepsilon^2 \omega^2) \frac{d^2 y}{dx^2} - \omega^2 y = 0 \quad (14)$$

Используя (11), можем переписать граничные условия для свободного края. Они принимают вид

$$\varepsilon^{\xi_1} y'(0) + \frac{1 - \xi_1}{2} \int_0^1 e^{-\frac{s}{\varepsilon}} y'(s) ds = 0 \quad (15)$$

и

$$\varepsilon^{\xi_1} y'(1) + \frac{(1 - \xi_1)e^{-\frac{1}{\varepsilon}}}{2} \int_0^1 e^{\frac{s}{\varepsilon}} y'(s) ds = 0 \quad (16)$$

для левого ($x = 0$) и правого ($x = 1$) края, соответственно.

Дифференциальное уравнение (14) имеет четвертый порядок, в то время как мы имеем лишь два граничных условия (по одному на каждом крае). Недостающие два условия могут быть получены непосредственно из уравнения (5):

$$\varepsilon^2 \xi_1 y''(0) + \frac{1 - \xi_1}{2} \int_0^1 e^{-\frac{s}{\varepsilon}} y'(s) ds + \varepsilon^2 \omega^2 y(0) = 0 \quad (17)$$

$$\varepsilon^2 \xi_1 y''(1) - \frac{(1 - \xi_1)e^{-\frac{1}{\varepsilon}}}{2} \int_0^1 e^{\frac{s}{\varepsilon}} y'(s) ds + \varepsilon^2 \omega^2 y(1) = 0 \quad (18)$$

Замечание 1. Условия (17), (18) не являются естественными в обычном понимании граничные условия. Как будет показано ниже, данные условия позволяют принять во внимание наличие краевых эффектов, порождаемых не граничными условиями (6)-(8), а нелокальным деформированием (учитывающим внутренний масштаб) наноразмерной балки вблизи краев.

Обратимся к уравнению (14). Данное уравнение является сингулярно возмущенным так как содержит малый параметр $\varepsilon \ll 1$ при старшей производной. Заметим, что при $\xi_1 = 0$ оно вырождается в дифференциальное уравнение второго порядка, которое соответствует НЭД и НОФИ- моделям одновременно. Граничные условия свободного края (15), (16) при $\xi_1 = 0$ принимают форму граничных условий в рамках НОФИ- модели. Если рассмотреть дополнительные условия (17), (18) при $\xi_1 = 0$, то они становятся несовместимыми с любым из вариантов естественных граничных условий (6)-(8) для НОФИ- модели. Таким образом, НОФИ- модель нельзя считать корректной, а НДФИ- модель следует рассматривать при $\xi_1 > 0$, что совпадает с выводом, сделанным в работе [26].

Точное и асимптотические решения краевой задачи. Рассмотрим уравнение (14). На множестве $y(x) \in C^4[0, 1]$ оно эквивалентно интегро-дифференциальному уравнению (5). Для любых $\xi_1, \varepsilon > 0$ оно имеет простое решение

$$y = c_1 \sin \alpha x + c_2 \cos \alpha x + c_3 e^{-\beta x} + c_4 e^{\beta(x-1)} \quad (19)$$

где

$$\alpha = \sqrt{\frac{\sqrt{(1-\varepsilon^2\omega^2)^2 + 4\varepsilon^2\xi_1\omega^2} - (1-\varepsilon^2\omega^2)}{2\varepsilon^2\xi_1}}, \quad \beta = \sqrt{\frac{\sqrt{(1-\varepsilon^2\omega^2)^2 + 4\varepsilon^2\xi_1\omega^2} + (1-\varepsilon^2\omega^2)}{2\varepsilon^2\xi_1}} \quad (20)$$

а c_k - константы, определяемые из граничных условий. Подстановка (19) в граничные условия приводит к некоторому трансцендентному уравнению

$$F(\omega; \xi_1, \varepsilon) = 0 \quad (21)$$

относительно безразмерной частоты ω . Попытка нахождения его корней при значениях ξ_1 близких к нулю, приводит к большим вычислительным трудностям, что объясняется тем, что при $\xi_1 \rightarrow 0$ (предельный переход к НОФИ-модели) уравнение (21) претерпевает сингулярное вырождение.

Для того, чтобы построить решения при малых ξ_1 применим асимптотический метод. Однако в качестве малого параметра мы будем рассматривать не ξ_1 , а $\varepsilon \ll 1$. Решение задачи ищем в виде:

$$y = y_m(x) + \varepsilon^\gamma y_e(x), \quad \omega = \omega_0 + \varepsilon\omega_1 + \varepsilon^2\omega_2 + \dots, \quad (22)$$

где y_m - перемещение, соответствующее основному напряженно-деформированному состоянию, y_e - интегралы краевого эффекта, а γ - показатель интенсивности краевого эффекта.

Уравнение краевого эффекта имеет вид:

$$\xi_1 \frac{d^4 y_e}{d\xi^4} - (1 - \varepsilon^2 \omega^2) \frac{d^2 y_e}{d\xi^2} - \varepsilon^2 \omega^2 y_e = 0 \quad (23)$$

Общее решение данного уравнения можно представить в виде ряда

$$y_e = a_{01} e^{-\frac{x}{\varepsilon\sqrt{\xi_1}}} + a_{02} e^{\frac{x-1}{\varepsilon\sqrt{\xi_1}}} + \left[a_{11} e^{-\frac{x}{\varepsilon\sqrt{\xi_1}}} + a_{12} e^{\frac{x-1}{\varepsilon\sqrt{\xi_1}}} + \frac{\omega_0^2(1-\xi_1)}{2\sqrt{\xi_1^3}} \left(a_{01} x e^{-\frac{x}{\varepsilon\sqrt{\xi_1}}} - a_{02} (x-1) e^{\frac{x-1}{\varepsilon\sqrt{\xi_1}}} \right) \right] + O(\varepsilon^2) \quad (24)$$

где a_{ij} - константы, определяемые из граничных условий.

Функцию y_m будем искать в виде ряда

$$y_m = y_{m0} + \varepsilon y_{m1} + \varepsilon^2 y_{m2} + \dots \quad (25)$$

Подставляя (25) в уравнение (14), приходим к последовательности дифференциальных уравнений:

$$L_0 y_{m0} = \frac{d^2 y_{m0}}{dx^2} + \omega_0^2 y_{m0} = 0, \quad L_0 y_{m1} = -2\omega_0 \omega_1 y_{m0}, \quad (26)$$

$$L_0 y_{m2} = -2\omega_0 \omega_1 y_{m1} + \xi_1 \frac{d^4 y_{m0}}{dx^4} + \omega_0^2 \frac{d^2 y_{m0}}{dx^2} - (2\omega_0 \omega_2 + \omega_1^2) y_{m0}$$

Далее рассмотрим случай, соответствующий жесткому защемлению краев (6). Подставляя (22), (25) в (6) и дополнительные граничные условия (17), (18), находим $\gamma = 1$ и приходим к последовательности краевых условий для уравнений (26):

$$y_{m0}(0) = y_{m0}(1) = 0 \quad (27)$$

$$y_{m1}(0) = -y_{e0}(0) = -a_{01}, \quad y_{m1}(1) = -y_{e0}(1) = -a_{02}, \quad (28)$$

$$(1 - \sqrt{\xi_1}) y'_{m0}(0) + a_{01} = 0, \quad (1 - \sqrt{\xi_1}) y'_{m0}(1) - a_{02} = 0;$$

$$y_{m2}(0) = -a_{11}, \quad y_{m2}(1) = -a_{12},$$

$$(1 - \sqrt{\xi_1}) [y'_{m1}(0) + y''_{m0}(0)] + a_{11} = 0, \quad (1 - \sqrt{\xi_1}) [y'_{m1}(1) + y''_{m0}(1)] - a_{12} = 0 \quad (29)$$

Процедура отыскания решений последовательности краевых задач (26)-(29), основанная на требовании существования решения неоднородных краевых задач на

«спектре», общеизвестна. Опуская ее детали, выпишем приближенное решение задачи, сохраняя лишь три члена в рядах (22), (25):

$$\omega = \pi \left\{ 1 - 2\varepsilon(1 - \sqrt{\xi_1}) + \varepsilon^2 \left[4\pi m(1 - \sqrt{\xi_1})^2 - \frac{1}{2}(\pi m)^3(1 - \xi_1) \right] + O(\varepsilon^3) \right\}, \quad n = 1, 2, 3, \dots,$$

$$y(x) = C \left\{ \sin \pi x + \varepsilon \pi m(1 - \sqrt{\xi_1}) \left[(1 - 2x) \cos \pi x - e^{-\frac{x}{\varepsilon \sqrt{\xi_1}}} + (-1)^n e^{\frac{x-1}{\varepsilon \sqrt{\xi_1}}} \right] + O(\varepsilon^2) \right\} \quad (30)$$

Аналогичным образом, рассматривая оставшиеся варианты граничных условий, мы находим:

$$\omega = \pi \left(\frac{1}{2} + n \right) \left[1 - \varepsilon(1 - \sqrt{\xi_1}) + O(\varepsilon^2) \right], \quad n = 0, 1, 2, \dots$$

$$y(x) = C \left\{ \sin \pi \left(\frac{1}{2} + n \right) x + \varepsilon \pi \left(\frac{1}{2} + n \right) (1 - \sqrt{\xi_1}) \left[(1 - x) \cos \pi \left(\frac{1}{2} + n \right) x - e^{-\frac{x}{\varepsilon \sqrt{\xi_1}}} \right] + O(\varepsilon^2) \right\} \quad (31)$$

для случая, когда левый край жестко зашпелен (граничные условия (7)), и

$$\omega = \pi \left[1 - \frac{1}{2} \varepsilon^2 (\pi m)^2 (1 - \xi_1) + O(\varepsilon^3) \right], \quad n = 1, 2, 3, \dots,$$

$$y(x) = C \left\{ \cos \pi x - \varepsilon^2 (\pi m)^2 (1 - \sqrt{\xi_1}) \left[e^{-\frac{x}{\varepsilon \sqrt{\xi_1}}} + (-1)^n e^{\frac{x-1}{\varepsilon \sqrt{\xi_1}}} \right] + O(\varepsilon^3) \right\}. \quad (32)$$

Во всех случаях C - произвольная константа. Заметим, что в последнем случае $\gamma = 2$.

Анализ построенных решений. При $\xi_1 = 1$ соотношения (30)-(32) переходят в простые известные формулы для собственных частот и форм колебаний макроразмерной балки. Если $\xi_1 = 0$, то получаем соотношения для НОФИ-модели. В частности, для жестко зашпеленной с обоих краев балки имеем

$$\omega = \pi \left\{ 1 - 2\varepsilon + \varepsilon^2 \pi m \left[4 - \frac{1}{2} (\pi m)^2 \right] + O(\varepsilon^3) \right\}, \quad n = 1, 2, 3, \dots \quad (33)$$

Заметим, что НЭД-модель с уравнением (14) при $\xi_1 = 0$ дает формулу

$$\omega = \pi - \frac{1}{2} \varepsilon^2 (\pi m)^3 + O(\varepsilon^3), \quad n = 1, 2, 3, \dots \quad (34)$$

Как видно, часто используемая в литературе НЭД-модель дает к классической частоте поправку порядка $O(\varepsilon^2)$, в то время как НОФИ- и НДФИ-модели – поправку порядка $O(\varepsilon)$. Таким образом, НЭД-модель имеет большую погрешность, что объясняется тем, что она не учитывает наличие нелокальных краевых эффектов.

На рисунке 1 приведены точные значения наименьшей безразмерной частоты ω жестко зашпеленной с обеих сторон наноразмерной балки как функции параметра ξ_1 при различных значениях малого параметра ε . Как видно уменьшение параметра

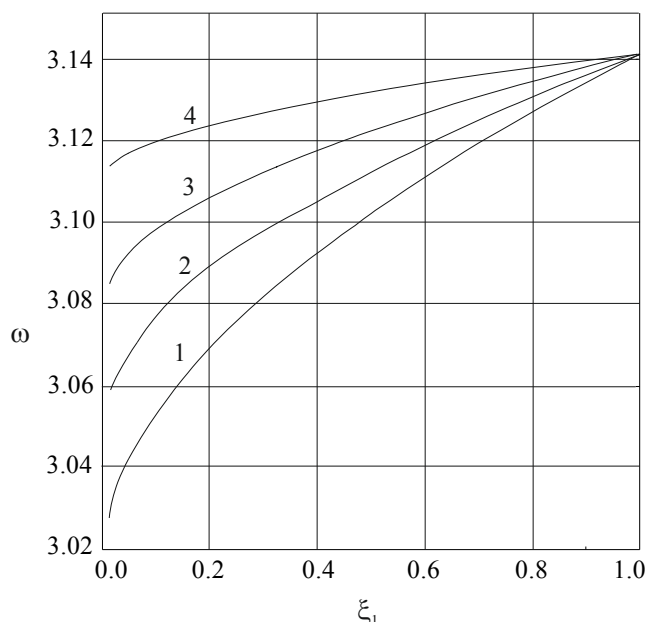


Рис. 1. Зависимость наименьшей безразмерной собственной частоты ω от параметра ξ_1 при различных значениях малого параметра ε : 1 – $\varepsilon = 0.02$; 2 – $\varepsilon = 0.015$; 3 – $\varepsilon = 0.01$; 4 – $\varepsilon = 0.005$;

ξ_1 влечет уменьшение собственной частоты. При этом частота тем меньше, чем больше параметр ε . Поскольку определение ω при малых значениях ξ_1 связано со значительными вычислительными трудностями, мы выполнили расчеты частоты в окрестности $\xi_1 = 0$ с использованием асимптотической формулы (30). На рисунке 2, для сравнения, показаны значения частоты, найденные точно (сплошная линия) и асимптотически (пунктирная линия) в случае, когда $\varepsilon = 0.02$. Как видно, погрешность асимптотической формулы (30) очень мала: анализ расчетов показал, что на всем промежутке изменения ξ_1 относительная погрешность не превышает 0.022%.

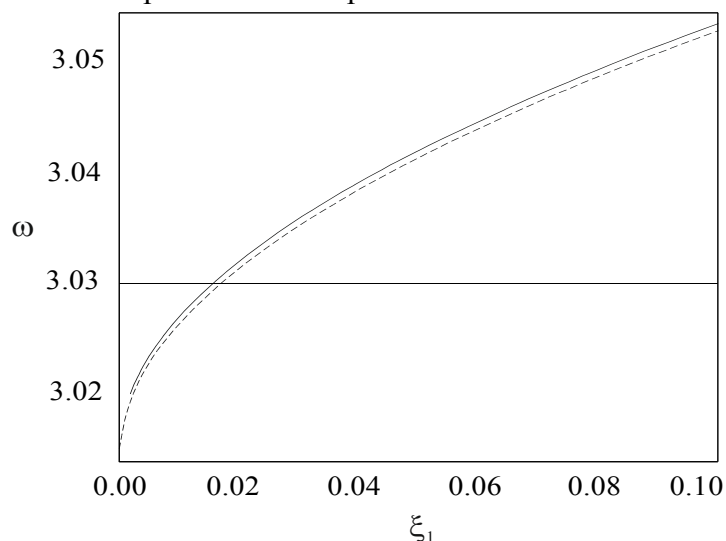


Рис. 2. Значения безразмерной частоты ω , вычисленные с использованием решения уравнения (21) (сплошная линия), а также асимптотической формулы (30) при значении параметра $\varepsilon = 0.02$.

Выводы. С использованием нелокальной двухфазной модели Эрингена исследованы свободные продольные колебания наноразмерной балки для различных граничных условий. Выполнен сравнительный анализ собственных частот, найденных в рам-

ках нелокальных двухфазной, однофазной и «эквивалентной» дифференциальной модели, показано, что однофазная модель, а также так называемая «эквивалентная» ей дифференциальная модели некорректны, ибо не позволяют удовлетворить граничным условиям и учесть возникающие нелокальные краевые эффекты. Найдены простые асимптотические формулы для собственных частот и форм колебаний для всех вариантов граничных условий. Сравнительный анализ расчетов показал высокую точность найденных асимптотических формул.

ЛИТЕРАТУРА

1. Kröner, E. *Elasticity theory of materials with long range cohesive forces* / E. Kröner // *Int. J. Solids Struct.* – 1967. – V.3. – P. 731-742.
2. Kunin, I.A. *The theory of elastic media with microstructure and the theory of dislocation* / I.A. Kunin // In: *Mechanics of Generalized Continua* (Ed. by Kröner). *Proceedings of IUTAM Symposium.* - New York: Springer, 1968.
3. Krumhansl, J.A. *Some considerations on the relations between solid state physics and generalized continuum mechanics* / J.A. Krumhansl // In: *Mechanics of Generalized Continua* (Ed. by Kröner). – Berlin: Springer-Verlag. – 1968. - P. 298-331.
4. Edelen, D.G.B. *Protoelastic bodies with large deformations* / D.G.B. Edelen // *Arch. Rat. Mech. Anal.* – 1969. – V. 34. – P. 283-300.
5. Edelen, D.G.B. *On the thermodynamics of systems with nonlocality* / D.G.B. Edelen, N. Laws // *Arch. Rat. Mech. Anal.* – 1971. – V. 43. – P. 24-35.
6. Eringen, A.C. *Nonlocal polar elastic continua* / A.C. Eringen // *Int. J. Eng. Sci.* – 1972. – V. 10. - P.1–16.
7. Eringen, A.C. *On nonlocal elasticity* / A.C. Eringen, D.G.B. Edelen // *Int. J. Eng. Sci.* – 1972. - V.10. –P. 233–248.
8. Eringen, A.C. *On differential equations of nonlocal elasticity and solutions of screw dislocation and surface waves* / A.C. Eringen // *J. Appl. Phys.* – 1983. – V. 54. – P. 4703–4710.
9. Eringen, A.C. *Nonlocal Continuum Field Theories* / A.C. Eringen. - New York: Springer, 2002.
10. Peddieson, J. *Application of nonlocal continuum models to nanotechnology* / J. Peddieson, R. Buchanan, R.P. McNitt // *International Journal of Engineering Science.* – 2003. –V. 41. – P. 305-312.
11. Sudak, L.J. *Column buckling of multiwalled carbon nanotubes using nonlocal continuum mechanics* / L.J. Sudak // *J. Appl. Phys.* – 2003. – V. 94 (11). – P. 7281-7287.
12. Reddy, J.N. *Nonlocal theories for bending, buckling and vibration of beams* / J.N. Reddy // *International Journal of Engineering Science.* – 2007. – V. 45. – P. 288–307.
13. Lu, P. *Non-local elastic plate theories* / P. Lu, P.Q. Zhang, H.P. Lee, C.M. Wang, J.N. Reddy // *Proc. R. Soc. A.* -2007. – V. 463. – P. 3225-3240.
14. Usuki, T. *Beam equations for multi-walled carbon nanotubes derived from Flugge shell theory* / T. Usuki, K. Yogo // *Proc. R. Soc. Lond. A.* – 2009. – P. 1199-1226.
15. Wang, C.Y. *Free vibrations of multi-walled carbon nanotube* / C.Y. Wang, C.Q. Ru, A. Mioduchowski // *J. Appl. Phys.* – 2005. –V. 97. –P. 114323-114333.

16. Zhang, Y.Q. *Free transverse vibrations of double-walled carbon nanotubes using a theory of nonlocal elasticity* / Y.Q. Zhang, G.R. Liu, X.Y. Xie // *Phys. Rev. B.* - 2005. – 2005. – V. 71. - P. 195404-1–19540410.
17. Xu, M. *Free transverse vibrations of nano-to-micron scale beams* / M. Xu // *Proc. R. Soc. Lond. A.* -2006. –V. 426. –P. 2977-2995.
18. Wang, Q. *Application of nonlocal continuum mechanics to static analysis of micro- and nano-structures* / Q. Wang, K.M. Liew // *Physics Letters A.* – 2007. -V. 363 (3). – P. 236-242.
19. Challamel, N. *The small length scale effect for a non-local cantilever beam: a paradox solved* / N. Challamel, C.M. Wang // *Nanotechnology.* – 2008. –V. 19. –P. 345703-345710.
20. Benvenuti, E. *One-dimensional nonlocal and gradient elasticity: Closed-form solution and size effect* / E. Benvenuti, A. Simone // *Mechanics Research Communications.* – 2013.- V. 48. –P. 46-51.
21. Fernández-Sáez, J. *Bending of Euler-Bernoulli beams using Eringen's integral formulation: A paradox resolved* / J. Fernández-Sáez, R. Zaera, J.A. Loya, J.N. Reddy // *Int. J. Eng. Sci.* –2016. - V.99. –P. 107–116.
22. Polyanin, A. *Handbook of integral equations* / A. Polyanin, A. Manzhirov. – New York: CRC Press. - 2008.
23. Mikhasev, G.I. *On localized modes of free vibrations of single-walled carbon nanotubes embedded in nonhomogeneous elastic medium* / G.I. Mikhasev // *ZAMM.* -2014. – V. 94 (1-2). – P. 130-141.
24. Михасев, Г.И. *Свободные локализованные колебания длинной двухстенной углеродной нанотрубки, внедренной в неоднородную упругую среду* / Г.И. Михасев, М.Г. Ботогова // *Вестник СПбГУ. Сер. 1. Математика. Механика. Астрономия.* – 2016. Вып. 1. – Т. 3 (61). – С. 155-163.
25. Васильев, А.Б. *Интегральные уравнения* / А.Б. Васильев, Н.А. Тихонов. – Москва: Изд-во Московского ун-та. – 1989.- 156 с.
26. Romano, G. *Constitutive boundary conditions and paradoxes in nonlocal elastic nanobeams* / G. Romano, R. Barretta, M. Diaco, F. Marotti de Sciarra // *International Journal of Mechanical Sciences.* – 2017.-V. 121. - P. 151-156.
27. Eringen, A.C. *Linear theory of nonlocal elasticity and dispersion of plane waves* / A.C. Eringen // *Int J. Eng. Sci.* – 1972. –V.10(5). -P. 425–35.
28. Eringen, A.C. *Theory of nonlocal elasticity and some applications* / A.C. Eringen // *Res Mech.* – 1987. – V.21. – P.313–342.
29. Khodabakhshi, P. *A unified integro-differential nonlocal model* / P. Khodabakhshi, J.N. Reddy // *Int. J. Eng. Sci.* - 2015. –V. 95. –P. 60–75.
30. Wang, Y.B. *Exact solutions for the static bending of Euler-Bernoulli beams using Eringen's two-phase local/nonlocal model* / Y.B. Wang, X.W. Zu, H.H. Dai // *AIP Adv.* - 2016. – V. 6 – P. 085114/22.
31. Pisano AA, Fuschi P. *Closed form solution for a nonlocal elastic bar in tension.* *Int. J. Solids. Struct.* - 2003. –V. 40. – P. 13–23.
32. Eptaimeros, K. G. *Nonlocal integral approach to the dynamical response of nanobeams* / K.G. Eptaimeros, C.Chr. Koutsoumaris, G.J. Tsamasphyros // *International Journal of Mechanical Sciences.* – 2016. –V. 115-116. – P. 68-80.